



مدل سازی و شبیه سازی سیکل تبرید تراکمی کولر گازی و ارزیابی ضریب عملکرد آن تحت شرایط محیطی مختلف

فرزانه ویسی^۱، ابراهیم حاجی دولو^{۲*}

۱- کارشناس ارشد مهندسی مکانیک، دانشگاه شهید چمران اهواز، اهواز

۲- دانشیار گروه مهندسی مکانیک، دانشگاه شهید چمران اهواز، اهواز

* ahvaz, صندوق پستی ۱۳۵۵، ۶، hajidae@scu.ac.ir

چکیده- مدل سازی اجزا سیکل تبرید تراکمی بخار با استفاده از منحنی های مشخصه آن ها در حالت پایدار ارائه شده و سپس شبیه سازی کل سیکل به صورت یکپارچه انجام شده است. با استفاده از شبیه سازی، پیش بینی مشخصه های سیستم مانند نرخ دفع حرارت در کندانسور، کار کمپرسور، اثر تبرید و ضریب عملکرد سیستم در شرایط محیطی متفاوت انجام شده است. نتایج حاصل از شبیه سازی با داده های تجربی به دست آمده از بررسی آزمایشگاهی یک دستگاه کولر گازی دوتکه مقایسه شده و مشخص شد که مدل ارائه شده می تواند با دقت خوبی عملکرد سیستم را پیش بینی کند. نتایج شبیه سازی نشان می دهد که با افزایش یک درجه دمای محیط ضریب عملکرد سیکل $3/5$ درصد کاهش می یابد و با افزایش ۱۰ درصد رطوبت نسبی محیط ضریب عملکرد به طور متوسط $6/5$ درصد افزایش می یابد. افزایش ۱۰ درصد در دبی حجمی هوای عبوری از روی کندانسور سبب افزایش $3/2$ درصد در ضریب عملکرد سیکل می شود. همچنین تأثیر افزایش سطح کندانسور بر میزان حرارت دفع شده در کندانسور بررسی گردید و مشخص شد با افزایش سطح کندانسور تا حد معینی دفع حرارت از آن محسوس بوده، اما با افزایش بیشتر آن تغییر چندانی در افزایش حرارت دفع شده در کندانسور مشاهده نمی شود.

کلیدواژگان: سیکل تبرید تراکمی، مدل سازی، شبیه سازی، کولر گازی دوتکه، ضریب عملکرد

Modeling and simulation of vapor compression refrigeration cycle

F. Vaisi¹, E. Hajidavalloo^{2*}

1- MSC Graduate of Mech. Eng., Shahid Chamran Univ. of Ahvaz, Ahvaz, Iran

2- Assoc. of Mech. Eng., Shahid Chamran Univ. of Ahvaz, Ahvaz, Iran

* P.O. B. 61355 Ahvaz, hajidae@scu.ac.ir

Abstract- Component of vapor-compression refrigeration cycle was modeled at steady state condition. Then, modeling and simulation of the whole cycle was performed to predict system parameters such as compressor work, cooling effect and coefficient of performance (COP) in various ambient conditions. The simulation results were compared with experimental results obtained from an experimental investigation on a split-type air conditioner. It was found that the experimental and simulation results are in good agreement and the model can predict the performance of the cycle successfully. Average difference between experimental and simulation results for prediction of COP was 4.5%. Simulation results show that for each 1°C increase in ambient temperature, COP reduces 3.5%, and for 10% increase in ambient relative humidity, COP increases about 6.5%. Also, by increasing the air volumetric flow rate of condenser about 10%, COP increases about 5%. Effect of increasing the condenser area on its heat rejection rate was studied and it was found that increasing the condenser area, increases the heat rejection rate substantially only in a limited range and after that it does not change.

Keywords: Compression Refrigeration Cycle, Modeling, Simulation, Split-Type Air Conditioner, Coefficient of Performance

۱- مقدمه

مولن و بولارد^[۵] مدلی به نام RACMOD را معرفی کردند که برای شبیه‌سازی چرخه تبرید یک دستگاه تهویه مطبوع که بر اساس سیکل تبرید تراکمی کار می‌کند استفاده می‌شود. این مدل بر اساس معادلاتی بود که توسط فیشر و رایس برای یک چرخه تبرید استخراج گردید و توسط آنیل و پنسون^[۶] اصلاح شد. عباسی^[۷] یک سیکل تبرید تراکمی بخار را شبیه‌سازی نمود. در این شبیه‌سازی از منحنی‌های ASHRAE برای مدل‌سازی لوله مویین استفاده شده، انتقال حرارت در مبدل‌های حرارتی بین مبرد و آب بوده و ضرایب انتقال حرارت در آن‌ها ثابت در نظر گرفته شده است. برای مدل‌سازی کمپرسور از منحنی‌های مشخصه‌ای که توان آن را بر حسب دماهای کندانسور و اوپراتور به دست می‌دهد، استفاده شده است.

مدل‌های موجود برای سیکل‌های تبرید تراکمی با فرضیات و اهداف مختلف و با الگوریتم‌های متفاوتی ارائه شده‌اند. با توجه به تنوع اجزای سیکل تبرید تراکمی و تنوع کاربرد آن‌ها، ارائه مدل‌ها و الگوریتم‌های متفاوت برای بررسی عملکرد انواع سیکل‌های تبرید حائز اهمیت است. در این مقاله، با مدل‌سازی اجزای اصلی سیکل، تاثیر پارامترهای مختلف محیطی مانند دما و رطوبت نسبی هوا بر عملکرد سیکل بررسی شده است. همچنین تاثیر سطح مقطع کندانسور و سرعت هوا از روی آن بررسی شده که با استفاده از آن می‌توان شرایط بهینه را در طراحی سیکل اعمال نمود.

۲- مدل‌سازی ریاضی

برای شبیه‌سازی کل سیکل لازم است که در ابتدا مدل ریاضی هر یک از اجزای اصلی سیکل که تحول ترمودینامیکی آن‌ها در شکل ۱ نشان داده شده است انجام گیرد.

۲-۱- مدل لوله مویین و کمپرسور

مدل استفاده شده برای لوله مویین معادله‌ای است که در ASHRAE برای تخمین جریان جرمی مبرد گذرنده از لوله مویین بر اساس پارامترهای مؤثر بر آن (خصوصیات فیزیکی لوله و خواص سیال مبرد) بیان شده است. در این روش، با استفاده از تئوری پی باکینگهام^۳ و با ادغام

با توجه به کاربرد گسترده سیستم‌های تبرید تراکمی در صنایع و لوازم خانگی و سهم عمده این سیستم‌ها در مصرف انرژی الکتریکی، مدل‌سازی و شبیه‌سازی این سیستم‌ها در شرایط اقلیمی متفاوت از اهمیت بسزایی برخوردار است. در حال حاضر در کشور ما تحقیقات کمی در زمینه شبیه‌سازی کلی عملکرد سیکل‌های تبرید صورت گرفته است و لازم است که به این مقوله بیشتر پرداخته شود. این مسئله برای کشور ما که بخش‌های زیادی از آن دارای الگوی آب و هوایی گرم می‌باشد، از اهمیت بیشتری برخوردار است.

در زمینه مدل‌سازی و شبیه‌سازی فرایندهای موجود در سیکل تبرید تراکمی بخار تحقیقات مختلفی ارائه شده که در ابتدا به بررسی آن‌ها پرداخته می‌شود. اولین مدل کامپیوتی پمپ حرارتی توسط هیلر و گلیکسمن^[۱] (مدل MIT) ارائه شده است. این مدل یک پمپ حرارتی مجهز به شیر انبساطی ترموماستاتیک را در حالت کاربرد گرمایشی پمپ شبیه‌سازی کرده است. الیسون و کرسویک^[۲] بر اساس مدل MIT مدل برای شبیه‌سازی پمپ‌های حرارتی ارائه دادند (مدل ORNL). این مدل شامل یک مدل جدید بر اساس منحنی‌های مشخصه برای کمپرسور بوده و علاوه بر مدل‌سازی شیر انبساطی ترموماستاتیک که در مدل MIT انجام شده بود مدل‌سازی لوله مویین نیز انجام شد. فیشر و رایس^[۳] مدل MARKIII را برای بررسی عملکرد پمپ حرارتی ارائه کردند. در این مدل اطلاعات ورودی به مدل نسبت به مدل ارائه شده توسط الیسون و کرسویک توسعه یافت و پمپ حرارتی در هر دو حالت سرمایشی و گرمایشی بررسی شد. میزان مادون سردی^۱ و ماقوک گرمی مبرد به عنوان یک ورودی ثابت به مدل بوده و مابقی شرایط عملکرد بر اساس این ورودی‌ها به دست می‌آیند. دومانسکی و دیدیون^[۴] مدل HPSIM را برای شبیه‌سازی پمپ حرارتی بیان کردند که در آن برای مدل‌سازی کمپرسور از جزئیات بسیار زیادی استفاده شده که اکثر آن‌ها تنها در دست سازندگان کمپرسور می‌باشد. مدل‌سازی کندانسور و اوپراتور بر اساس تحلیل لوله به لوله بوده و برای مدل‌سازی لوله مویین هم از تئوری جریان فانو^۲ استفاده شده است.

1. Subcooling
2. Fanno flow theory

3. Buckingham Pi Theorem

گرم، در قسمت میانی آن به صورت اشباع دوفازی و در قسمت انتهایی آن معمولاً به صورت مادون سرد است. در مدل‌سازی کندانسور لازم است که معادلات انتقال حرارت در نواحی تکفار و دوفاز به صورت جداگانه استخراج شود. برای مدل‌سازی کندانسور از روش $NTU - \epsilon$ استفاده شده است.

۱-۲-۱- انتقال حرارت در ناحیه مافق گرم
 مبرد ورودی به کندانسور به صورت مافق گرم بوده و از این رو بخشی از مساحت کندانسور صرف خارج کردن مبرد از حالت مافق گرم و رساندن آن به حالت اشباع می‌شود. با استفاده از تعریف ضریب کارآیی، تعداد واحدهای انتقال در ناحیه مافق گرم کندانسور (NTU_{sh}) از رابطه (۶) و کسری از سطح کندانسور که در آن مبرد به صورت مافق گرم است (f_{sh}) از رابطه (۷) حاصل می‌شود. ضریب انتقال حرارت کلی در ناحیه مافق گرم کندانسور از رابطه (۸) محاسبه می‌شود که در این رابطه h_r ضریب انتقال حرارت در سمت لوله‌ها (مبرد) بوده و از آنجایی که در این ناحیه جریان در سمت مبرد به صورت مافق گرم و تکفاری است با استفاده از رابطه معروف دیتوس-بولتر^۱ محاسبه می‌شود. h_a ضریب انتقال حرارت هوای عبوری از روی لوله‌ها بوده و با استفاده از رابطه ارائه شده توسط یوشی^[۱۰] محاسبه می‌شود. ϕ راندمان فین بوده و با استفاده از روابط ارائه شده توسط مک کوئیستون و همکاران^[۱۱] محاسبه می‌شود.

$$\frac{C_r(T_2 - T_c)}{C_{\min} (T_{\text{air}} - T_c)} = 1 - \exp \left\{ \frac{NTU_{sh}^{0.22}}{C} [\exp(-CNTU_{sh}^{0.78}) - 1] \right\} \quad (6)$$

$$f_{sh} = A_{sh}/A_c = \frac{NTU_{sh} C_{\min}}{U_{sh} A_c} \quad (7)$$

$$U_{sh} = \frac{1}{\frac{A_c}{A_{ti} h_r} + \frac{(1-\phi)}{h_a ((A_{to}/A_{fin}) + \phi)} + \frac{1}{h_a}} \quad (8)$$

در نهایت میزان انتقال حرارت در ناحیه مافق گرم کندانسور از رابطه (۹) حاصل می‌شود.

$$Q_{sh} = C_r(T_2 - T_c) \quad (9)$$

۱-۲-۲- انتقال حرارت در ناحیه دوفازی

در این ناحیه نیز روابطی استخراج می‌شود که با استفاده از آن‌ها بتوان میزان انتقال حرارت در ناحیه دوفازی Q_{tp} و کسری

پارامترهای مؤثر بر جریان درون لوله موین، هفت عدد بدون بعد بدست می‌آیند^[۸]. عدد بدون بعد π_8 به صورت ترکیبی از هفت عدد بدون بعد ذکر شده توسط رابطه (۱) (اگر مبرد ورودی به لوله موین مادون سرد باشد) و یا رابطه (۲) (اگر مبرد ورودی به لوله موین مادون سرد باشد) تعریف می‌شود (پیوست).

$$\pi_8 = 1.8925 \pi_1^{-0.484} \pi_2^{-0.824} \pi_4^{1.369} \pi_5^{0.0187} \pi_6^{0.773} \pi_7^{0.265} \quad (1)$$

$$\pi_8 = 187.27 \pi_1^{-0.635} \pi_2^{-0.189} \pi_4^{0.645} \pi_5^{-0.163} \pi_6^{-0.213} \pi_7^{-0.483} \quad (2)$$

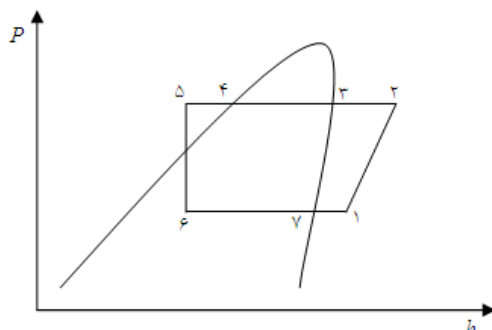
ارتباط بین دبی جرمی و قطر لوله موین و ویسکوزیته مبرد و عدد بدون بعد π_8 در رابطه (۳) ذکر شده است.

$$\dot{m}_{cap} = d_{cap} \mu_f \pi_8 \quad (3)$$

برای مدل‌سازی کمپرسور از نتایج تجربی به دست آمده از بررسی آزمایشگاهی دستگاه کولر گازی دوتکه استفاده شد^[۹]. با برآش منحنی نتایج تجربی به دست آمده، توابع دو متغیرهای حاصل شد که دبی جرمی مبرد عبوری و توان مصرفی کمپرسور را بر حسب دماهای نقطه‌گیری در کندانسور و دمای تبخیر در اوپراتور تعیین می‌کند. این توابع در معادلات (۴) و (۵) آمده است.

$$\begin{aligned} \dot{m}_{comp} &= -0.27 + 0.024 T_e - 0.00045 T_e^2 - 0.055 T_c \\ &\quad - 0.0024 T_c^2 + 0.002 T_e T_c \end{aligned} \quad (4)$$

$$\begin{aligned} \dot{W}_{comp} &= 28.5 - 2.35 T_e + 0.052 T_e^2 + 6 T_c \\ &\quad + 0.35 T_c^2 - 0.27 T_e T_c \end{aligned} \quad (5)$$



شکل ۱ نمودار P - h چرخه تبرید تراکمی بخار با تراکم آینزنتروپیک و با صرفنظر از افت فشار

۱-۲-۳- مدل‌سازی کندانسور

بخار مبرد با فشار و دمای زیاد وارد کندانسور شده و چگالیده می‌شود. در قسمت‌های ابتدایی کندانسور مبرد به صورت مافق

1. Dittus-Boelter

است. ضریب کارآیی و تعداد واحدهای انتقال توسط روابط (۱۶) و (۱۷) محاسبه می‌شوند.

$$\varepsilon_{sc} = 1 - \exp\left\{\frac{NTU_{sc}^{0.22}}{C} [\exp(-CNTU_{sc}^{0.78}) - 1]\right\} \quad (16)$$

$$NTU_{sc} = \frac{U_{sc} f_{sc} A_c}{C_{min}} \quad (17)$$

U_{sc} ضریب انتقال حرارت کلی مبرد در ناحیه مادون سرد است که همانند ناحیه مافوق گرم با استفاده از رابطه (۸) محاسبه می‌شود. نرخ انتقال حرارت در ناحیه مادون سرد را از رابطه (۱۸) می‌توان محاسبه کرد.

$$Q_{sc} = C_r(T_c - T_5) = \varepsilon_{sc} C_{min}(T_c - T_{air}) \quad (18)$$

که در آن T_5 دمای مبرد در خروج از ناحیه مادون سرد کندانسور است.

$$T_5 = T_c - \frac{\varepsilon_{sc} C_{min}(T_c - T_{air})}{C_r} \quad (19)$$

در نهایت کل انتقال حرارت صورت گرفته از کندانسور مجموع حرارت‌های منتقل شده در هر ۳ ناحیه فوق گرم، دوفازی و مادون سرد از رابطه (۲۰) و دمای مخلوط هوا در اثر عبور از روی کندانسور با رابطه (۲۱) محاسبه می‌شود.

$$Q_c = Q_{sh} + Q_{tp} + Q_{sc} \quad (20)$$

$$T_{aco} = T_{air} + Q_c / C_{air} \quad (21)$$

۳-۲- مدل‌سازی اواپراتور

سطح انتقال حرارت در اواپراتور به دو ناحیه مافوق گرم و دوفازی تقسیم می‌شود. مدل‌سازی هر کدام از این دو ناحیه به صورت مجزا صورت می‌گیرد.

در اثر عبور هوا از روی لوله‌های اواپراتور، به دلیل انتقال حرارت هوا با مبرد، دمای هوا کاهش می‌یابد. این کاهش دمای خشک هوا ممکن است منجر به تقطیر بخار آب موجود در هوا شود. مایع حاصل از تقطیر از طریق لوله‌های تخلیه^۱ خارج می‌شود. فرض می‌شود که رطوبت‌زادی تنها در ناحیه دوفازی اواپراتور روی دهد. در فرایند شبیه‌سازی، میانگین دمای فین در ناحیه مافوق گرم و دمای نقطه شبنم هوای عبوری از روی اواپراتور مقایسه شده و صحت فرض تایید می‌شود. همچنین بسته به شرایط هوای ورودی به اواپراتور ممکن است ناحیه

1. Drain Pipe

از سطح کندانسور که در آن مبرد به صورت دوفازی است، f_{tp} را بدست آورد. مقدار انتقال حرارت مبرد در ناحیه دوفازی برابر است با مقدار حرارتی که در اثر رسیدن مبرد از حالت بخار مبرد اشباع به مایع مبرد اشباع در فشار کندانسور حاصل می‌شود و از رابطه (۱۰) محاسبه می‌شود.

$$Q_{tp} = \dot{m}_r h_{fg@T_c} = C_{air}(T_{atpo} - T_{air}) \quad (10)$$

رابطه بین ضریب کارآیی ε و تعداد واحدهای انتقال در ناحیه دوفازی (NTU_{tp}) با رابطه (۱۱) تعیین می‌شود. همچنین با استفاده از تعریف ضریب کارآیی در این ناحیه می‌توان رابطه (۱۱) را نوشت.

$$\varepsilon_{tp} = 1 - e^{-NTU_{tp}} \quad (11)$$

$$\varepsilon_{tp} = \frac{C_{air}(T_{atpo} - T_{air})}{C_{min}(T_c - T_{air})} = \frac{(T_{atpo} - T_{air})}{(T_c - T_{air})} \quad (12)$$

که در آن T_{atpo} دمای هوا در اثر عبور از ناحیه دوفازی کندانسور است. از تعریف می‌توان نوشت:

$$f_{tp} = A_{tp}/A_c \quad (13)$$

$$NTU_{tp} = \frac{U_{tp} A_{tp}}{C_{min}} = \frac{U_{tp} f_{tp} A_c}{C_{air}} \quad (14)$$

در رابطه (۱۴)، U_{tp} ضریب انتقال حرارت کلی مبرد در ناحیه دوفازی است که همانند ناحیه مافوق گرم با استفاده از رابطه (۸) محاسبه می‌شود، با این تفاوت که ضریب انتقال حرارت سمت مبرد در ناحیه دوفازی از روابط ارائه شده در مرجع [۱۲] محاسبه می‌شود.

۳-۲-۳- انتقال حرارت در ناحیه مادون سرد

پس از محاسبه f_{tp} ، به محاسبه f_{sc} و مدل‌سازی ناحیه مادون سرد کندانسور در صورت وجود و تعیین دمای مبرد در خروج از کندانسور T_5 می‌پردازیم. برای سطح کندانسور می‌توان رابطه زیر را نوشت:

$$\frac{A_{sh} + A_{tp} + A_{sc}}{A_c} = 1 \rightarrow f_{sh} + f_{tp} + f_{sc} = 1 \quad (15)$$

$$\begin{aligned} & \text{۱- اگر } f_{sc} < 1 \text{ باشد، آن‌گاه } f_{tp} + f_{sh} < 1 \\ & \text{۲- اگر } f_{sc} \geq 1 \text{ باشد، آن‌گاه } f_{tp} + f_{sh} = 0 \end{aligned}$$

در صورت وجود ناحیه مادون سرد ($f_{sc} \neq 0$)، محاسبات انتقال حرارت برای این ناحیه از کندانسور که در آن مبرد به صورت تک‌فازی است مشابه محاسبات برای ناحیه فوق گرم

الف: اگر $T_{atpo} < T_{ad}$ باشد، آنگاه تمام سطح اواپراتور خشک خواهد بود.

در این صورت میزان انتقال حرارت مبرد دوفازی با محیط از رابطه (۲۲) به دست آمده و میزان انتقال حرارت در ناحیه فوق گرم اواپراتور از رابطه (۲۵) به دست می‌آید.

$$Q_{sh} = C_r(T_1 - T_e) \quad (25)$$

از این رو کل انتقال حرارت صورت‌گرفته در اواپراتور برابر با مجموع انتقال حرارت در ناحیه دوفازی و فوق گرم می‌باشد.

$$Q_e = Q_{sh} + Q_{tp} \quad (26)$$

دماهی هوا در خروج از اواپراتور از رابطه (۲۷) به دست می‌آید.

$$T_{ao} = T_{air} - Q_e / C_{air} \quad (27)$$

ب: اگر $T_{atpo} < T_{ad}$ باشد، آنگاه تمام سطح اواپراتور و یا بخشی از آن مربوط خواهد بود.

در این حالت اگر دماهی هوا ورودی به اواپراتور بیشتر از T_{ad} باشد ($T_{atpo} < T_{ad} < T_{air}$)، بخشی از سطح ناحیه دوفازی مربوط و بخش دیگر خشک خواهد بود.

هوا با دماهی T_{ai} و نسبت رطوبت ω_{ai} وارد ناحیه خشک اواپراتور شده و با دماهی T_{ad} و نسبت رطوبت ω_{ai} از آن خارج می‌شود. میزان حرارت منتقل شده به هوا در ناحیه دوفازی خشک از رابطه (۲۸) به دست می‌آید.

$$Q_{dtp} = \dot{m}_{air}(i_{ai} - i_{ad}) \quad (28)$$

که در آن i_{ai} آنتالپی هوا در ورود به ناحیه خشک اواپراتور و i_{ad} آنتالپی هوا در خروج از این ناحیه می‌باشد و با توجه به ارتباط بین آنتالپی هوا مربوط، دماهی هواخشک و نسبت رطوبت از روابط زیر به دست می‌آید.

$$i_{ai} = T_{ai} + \omega_{ai}(2501 + 1.805T_{ai}) \quad (29)$$

$$i_{ad} = T_{ad} + \omega_{ai}(2501 + 1.805T_{ad}) \quad (30)$$

همان‌گونه که ذکر شد، میزان حرارت منتقل شده به مبرد در ناحیه دوفازی (Q_{tp}) مجموع حرارت‌های منتقل شده از هوا به مبرد در دو ناحیه خشک و مربوط می‌باشد (رابطه (۳۱)).

$$Q_{tp} = Q_{dtp} + Q_{wtp} \quad (31)$$

از این رو با داشتن Q_{tp} از رابطه (۲۲) و Q_{dtp} از رابطه (۲۸)، Q_{wtp} به دست می‌آید (رابطه (۳۲)).

$$Q_{wtp} = Q_{tp} - Q_{dtp} \quad (32)$$

Q_{wtp} مجموع حرارت منتقل شده به مبرد در اثر کاهش دماخشک هوا (انتقال حرارت محسوس) و تقطیر بخار آب

دوفازی اواپراتور کاملاً خشک یا کاملاً مربوط باشد و یا بخشی از آن خشک و بخش دیگر مربوط باشد. در مرحله اول مدل‌سازی اواپراتور فرض می‌کنیم که فرآیند تقطیر برای هوای عبوری از روى اواپراتور روی ندهد و اواپراتور کاملاً خشک باشد. با توجه به شکل ۲ فرآیند ترمودینامیکی صورت گرفته در لوله مویین آنتالپی ثابت بوده و از این رو مقدار آنتالپی در ورود به اواپراتور با آنتالپی مبرد در ورود به لوله مویین برابر است ($i_5 = i_6$). بنابراین میزان انتقال حرارت در ناحیه دوفازی اواپراتور از رابطه (۲۲) به دست می‌آید.

$$Q_{tp} = \dot{m}_r(i_7 - i_6) \quad (22)$$

در رابطه فوق، i_7 آنتالپی بخار مبرد اشباع در دماهی اواپراتور است. میزان حرارتی که مبرد در ناحیه دوفازی کسب می‌کند معادل با حرارتی است که هوای عبوری از دست می‌دهد. بنابراین، با فرض خشکبودن سطح اواپراتور، دماهی هوا در عبور از ناحیه دوفازی توسط رابطه (۲۳) به دست می‌آید.

$$T_{atpo} = T_{air} - Q_{tp} / C_{air} \quad (23)$$

با توجه به پژوهش‌های انجام‌شده توسط ترلکلد [۱۳]، دماهی هوا در آغاز رطوبت‌زادایی برای اواپراتورهای لوله‌ای فین‌دار، که در کاربردهای سرمایش هوای مربوط جهت تهویه مطبوع انجام می‌گیرد، از رابطه (۲۴) به دست می‌آید. در این شرایط، دماهی میانگین فین با دماهی نقطه شبنم هوای ورودی برابر می‌شود.

$$T_{ad} = \frac{T_d - \phi(1 - \frac{U_{dtp}A_e}{h_r A_{tei}})T_e}{1 - \phi(1 - \frac{U_{dtp}A_e}{h_r A_{tei}})} \quad (24)$$

در این رابطه T_d دماهی نقطه شبنم^۱ هوای ورودی، ϕ راندمان فین، U_{dtp} ضریب انتقال حرارت کلی در ناحیه دوفازی خشک همانند کندانسور از رابطه (۸) به دست می‌آید. در این رابطه h_a ضریب انتقال حرارت هوای عبوری از روی قسمت خشک اواپراتور همانند ضریب انتقال حرارت هوای عبوری از روی کندانسور محاسبه می‌شود. h_r ضریب انتقال حرارت مبرد در ناحیه دوفازی اواپراتور از رابطه چادوک و نوراگر [۱۴] به دست می‌آید.

حال با مقایسه T_{ad} از رابطه (۲۵) و T_{atpo} از رابطه (۲۳) به بررسی نواحی خشک و مربوط اواپراتور و تعیین دماهی هوا در اثر عبور از این نواحی می‌پردازیم.

1. Dew Point Temperature

با توجه به رابطه (۳۸) و (۳۹) :

$$f_{wtp} = 1 - f_{sh} - f_{dtp} \quad (43)$$

بنابراین مقدار سطوح خشک و مرطوب به ترتیب برابرند با:

$$A_{dtp} = f_{dtp} A_e \quad (44)$$

$$A_{wtp} = f_{wtp} A_e \quad (45)$$

در ناحیه مرطوب اواپراتور تغییرات رطوبت مخصوص هوا نسبت به آنتالپی از رابطه (۴۶) محاسبه می‌شود. پیچیدگی حل این معادله مربوط به محاسبه دمای میانگین فیلم آب است که منجر به مشخص شدن آنتالپی هوا اشباع در دمای میانگین فیلم آب (i_{aswm}) و رطوبت مخصوص هوا اشباع در دمای میانگین فیلم آب (ω_{aswm}) می‌شود. جزئیات حل این معادله در مرجع [۱۵] آمده است.

$$\frac{di_{air}}{d\omega_{air}} = Le \left[\frac{i_{ad} - i_{aswm}}{\omega_{ai} - \omega_{aswm}} \right] + (i_g - 2501Le) \quad (46)$$

که در آن

$$i_g = 2501 + 1.805\omega_{ai} \quad (47)$$

با فرض تغییرات خطی آنتالپی نسبت به حجم مخصوص برای ناحیه مرطوب اواپراتور می‌توان نوشت:

$$\frac{di_{air}}{d\omega_{air}} = \frac{\Delta i_{air}}{\Delta \omega_{air}} = \frac{i_{ad} - i_{atpo}}{\omega_{ai} - \omega_{atpo}} \quad (48)$$

در نتیجه:

$$\omega_{atpo} = \omega_{ai} - (i_{ad} - i_{atpo})(\Delta \omega_{air} / \Delta i_{air}) \quad (49)$$

با داشتن آنتالپی هوا در خروج از ناحیه مرطوب (رابطه ۳۴) و همچنین میزان رطوبت مخصوص آن (رابطه ۴۹) دمای هوا در خروج از ناحیه دوفازی اواپراتور به دست می‌آید.

$$T_{atpo} = (i_{atpo} - 2501\omega_{atpo}) / (1 + 1.805\omega_{atpo}) \quad (50)$$

حال اگر مقدار به دست آمده برای دمای هوا از رابطه فوق با مقداری که به عنوان حدس اولیه برای رابطه (۳۵) درنظر گرفته شد، برابر نباشد، همین روال تکرار خواهد شد. در غیر این صورت از حلقه تکرار خارج شده و در این صورت مقدار نهایی برای دمای هوا در خروج از ناحیه دوفازی اواپراتور مشخص می‌شود.

هوا پس از خروج از ناحیه دوفازی اواپراتور از ناحیه مافوق گرم اواپراتور عبور خواهد کرد. از این رو دمای هوا در خروج از اواپراتور برابر خواهد بود با:

$$T_{aoe} = T_{atpo} - Q_{sh} / C_a \quad (51)$$

موجود در هوا (انتقال حرارت نهان) در ناحیه مرطوب اواپراتور است و برابر با اختلاف آنتالپی کل هوا در اثر عبور از روی این ناحیه است (رابطه ۳۳).

$$Q_{wtp} = \dot{m}_{air}(i_{ad} - i_{atpo}) \quad (33)$$

$$i_{atpo} = i_{ad} - Q_{wtp} / \dot{m}_{air} \quad (34)$$

در این قسمت برای تعیین دمای هوا در عبور از ناحیه مرطوب اواپراتور از روشی که تیراکولپیسوت و پریپرم برای مدل‌سازی جریان هوا از روی کویل‌های مرطوب خنک‌کننده هوا ارائه نمود استفاده می‌شود [۱۵]. معادلات مورد استفاده در این روش نسبتاً طولانی و پیچیده بوده از این رو در این بخش به ذکر معادلات پایه‌ای مورد نیاز برای تعیین دمای هوا در خروج از اواپراتور می‌پردازیم.

با حدس دمای هوا در خروج از ناحیه دوفازی اواپراتور T_{atpo} ، ضریب کارآیی ناحیه مافوق گرم اواپراتور از رابطه (۳۵) به دست آمده و سپس تعداد واحدهای انتقال در این ناحیه از رابطه (۳۶) به دست می‌آیند. با جایگذاری تعداد واحدهای انتقال در رابطه (۳۷) و پس از آن f_{sh} به دست می‌آید.

$$\varepsilon_{sh} = \frac{C_r(T_1 - T_e)}{C_{min}(T_{atpo} - T_e)} \quad (35)$$

$$\varepsilon_{sh} = 1 - \exp \left\{ \frac{NTU_{sh}^{0.22}}{C} [\exp(-CNTU_{sh}^{0.78}) - 1] \right\} \quad (36)$$

$$f_{sh} = \frac{NTU_{sh} C_{min}}{U_{sh} A_e} \quad (37)$$

$$f_{tp} = 1 - f_{sh} \quad (38)$$

با توجه به اینکه بخشی از سطح دوفازی مرطوب و بخش دیگر خشک می‌باشد:

$$f_{tp} = f_{dtp} + f_{wtp} \quad (39)$$

رابطه $NTU - \varepsilon$ برای ناحیه دوفازی خشک توسط رابطه (۴۰) و مقدار NTU توسط رابطه (۴۱) حاصل می‌شود.

$$\varepsilon_{dtp} = 1 - e^{-NTU_{dtp}} = \frac{C_{air}(T_{air} - T_{ad})}{C_{min}(T_{air} - T_e)} \quad (40)$$

$$NTU_{dtp} = \frac{U_{dtp} A_{dtp}}{C_{min}} = \frac{U_{dtp} f_{dtp} A_e}{C_{air}} \quad (41)$$

با ادغام معادلات (۴۰) و (۴۱) به رابطه زیر برای دست می‌یابیم.

$$f_{dtp} = \frac{C_{air}}{U_{dtp} A_e} \ln \left[\frac{T_{air} - T_e}{T_{ad} - T_e} \right] \quad (42)$$

$$\dot{W}_{\text{comp,isen}} = \dot{m}_{\text{comp}}(i_2 - i_1) \quad (56)$$

$$\dot{W}_{\text{comp,a}} = \dot{W}_{\text{comp,isen}}/\eta_{\text{isen}} \quad (57)$$

در این مرحله اگر توان تئوری واقعی به دست آمده برای کمپرسور با توان به دست آمده از منحنی مشخصه برای آن یکسان بودند، مدل‌سازی کندانسور آغاز می‌شود در غیر این صورت با تغییر مقدار ΔT_{sh} همین فرآیند تکرار می‌شود.

پس از شبیه‌سازی کمپرسور، شبیه‌سازی کندانسور انجام می‌شود. با داشتن وضعیت مبرد در خروج از کمپرسور و با توجه به معادلات ذکرشده در مدل‌سازی کندانسور، حرارت منتقل شده به هوا در کندانسور و وضعیت مبرد در خروج از آن و وضعیت هوا در عبور از روی کندانسور مشخص می‌شود. در مرحله بعد، با توجه به شرایط مبرد در خروج از کندانسور و در ورود به لوله مویین، دبی جرمی مبرد گذرنده از لوله مویین تعیین می‌شود. در این مرحله دبی جرمی به دست آمده برای کمپرسور و لوله مویین با یکدیگر مقایسه شده و در صورتی که با هم برابر نباشند، فرض اولیه دمای تقطیر در کندانسور عوض می‌شود.

پس از حصول همگرایی، شبیه‌سازی اواپراتور صورت می‌گیرد. با توجه به فرآیند اختناق آنتالپی ثابت در لوله مویین، شرایط مبرد در ورود به اواپراتور مشخص بوده و میزان حرارت منتقل شده به مبرد در دو ناحیه دوفازی و فوق‌گرم اواپراتور محاسبه می‌شود. حال با توجه به قانون اول ترمودینامیک برای یک سیکل بسته، اگر میزان حرارت منتقل شده در کندانسور برابر با مجموع حرارت کسب شده در اواپراتور و توان مصرفی کمپرسور نباشد، فرض اولیه دمای تبخیر در اواپراتور را تا حصول همگرایی عوض نموده و در نهایت پس از حصول همگرایی وضعیت هوا در خروج از اواپراتور تعیین می‌شود. با انجام این فرآیند مشخصات سیکل به ازای مقادیر مشخص دماهای بیرون و داخل محفظه سردشونده به دست می‌آید. با فرض مقادیر مختلف دمایی برای هوا محيط بیرون و داخل محفظه سردشونده می‌توان عملکرد سیکل را در شرایط مختلف پیش‌بینی و بررسی نمود. در شکل ۲ الگوریتم کلی ارائه شده برای شبیه‌سازی یک سیکل تبرید تراکمی بخار آمده است.

۴- مقایسه نتایج شبیه‌سازی با نتایج تجربی

برای اعتبار سنجی مدل ارائه شده، نتایج حاصل از شبیه‌سازی با نتایج تجربی حاصل از عملکرد کولر گازی دو تکه ساخت

۳- شبیه‌سازی فرایند

برای مدل ارائه شده در این پژوهش برنامه‌ای توسط نرم‌افزار EES نوشته و اجرا شده است. در این مدل شرایط دمای هوا بیرون، دمای هوا داخل محفظه سردشونده و مشخصات هندسی سیستم تبرید (مشخصات سطوح فین و لوله‌های اواپراتور و کندانسور، ابعاد لوله مویین، راندمان آیزنتروپیک کمپرسور و مشخصات فن‌ها) ورودی‌های مسئله بوده و دمای تقطیر در کندانسور، دمای تبخیر در اواپراتور و میزان مافوق گرمی مبرد در ورود به کمپرسور، ضریب عملکرد، توان مصرفی کمپرسور، ظرفیت تبرید و خواص ترمودینامیکی مبرد در قسمت‌های مختلف سیکل و همچنین شرایط هوا در اثر عبور از روی اواپراتور و کندانسور به عنوان خروجی برنامه حاصل می‌شوند. در ابتدا کمپرسور شبیه‌سازی شده و پس از آن به ترتیب کندانسور، لوله مویین و اواپراتور شبیه‌سازی می‌شوند.

در شبیه‌سازی کمپرسور، با فرض مقادیر دماهای کارکرد کندانسور (T_c) و اواپراتور (T_e) دبی جرمی و توان مصرفی کمپرسور با استفاده از منحنی‌های مشخصه محاسبه می‌شود (روابط ۴ و ۵). با فرض میزان مافوق گرمی مبرد (ΔT_{sh}) در ورود به کمپرسور، دمای مبرد در ورود به کمپرسور را خواهیم داشت:

$$T_1 = T_e + \Delta T_{sh} \quad (52)$$

با داشتن دمای تبخیر مبرد در اواپراتور و دمای تقطیر مبرد در کندانسور و با توجه به اینکه در شرایط اشباع فشار تابع دماست، میزان فشار مبرد در ورود و خروج از کمپرسور مشخص می‌شود.

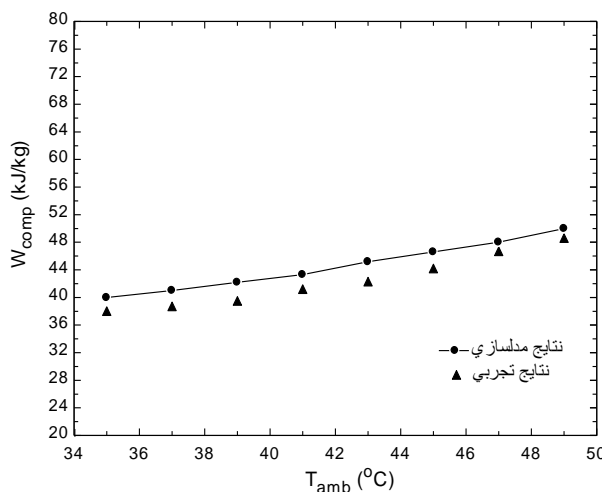
$$P_e = f(T_e), P_c = f(T_c) \quad (53)$$

با فرض تراکم آیزنتروپیک در کمپرسور ($s_1 = s_2$) و با استفاده از روابط ترمودینامیکی، دمای مبرد در خروج از کمپرسور حاصل می‌شود. با داشتن دما و فشار مبرد در ورود و خروج از کمپرسور، آنتالپی مبرد در ورود و خروج از کمپرسور با استفاده از روابط ترمودینامیکی حاصل می‌شود (رابطه ۵۴).

$$T_2 = f(P_c, s_2) \quad (54)$$

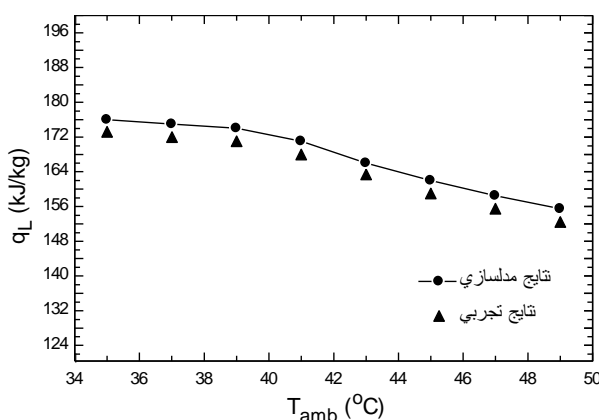
$$i_1 = f(T_1, P_e), i_2 = f(T_2, P_c) \quad (55)$$

توان مصرفی آیزنتروپیک کمپرسور از اختلاف آنتالپی‌های مبرد در ورود و خروج از کمپرسور به دست می‌آید و توان تئوری واقعی کمپرسور از حاصل ضرب راندمان آیزنتروپیک در توان آیزنتروپیک به دست می‌آید.



شکل ۳ روند تغییرات توان مصرفی کمپرسور بر حسب افزایش دمای محیط

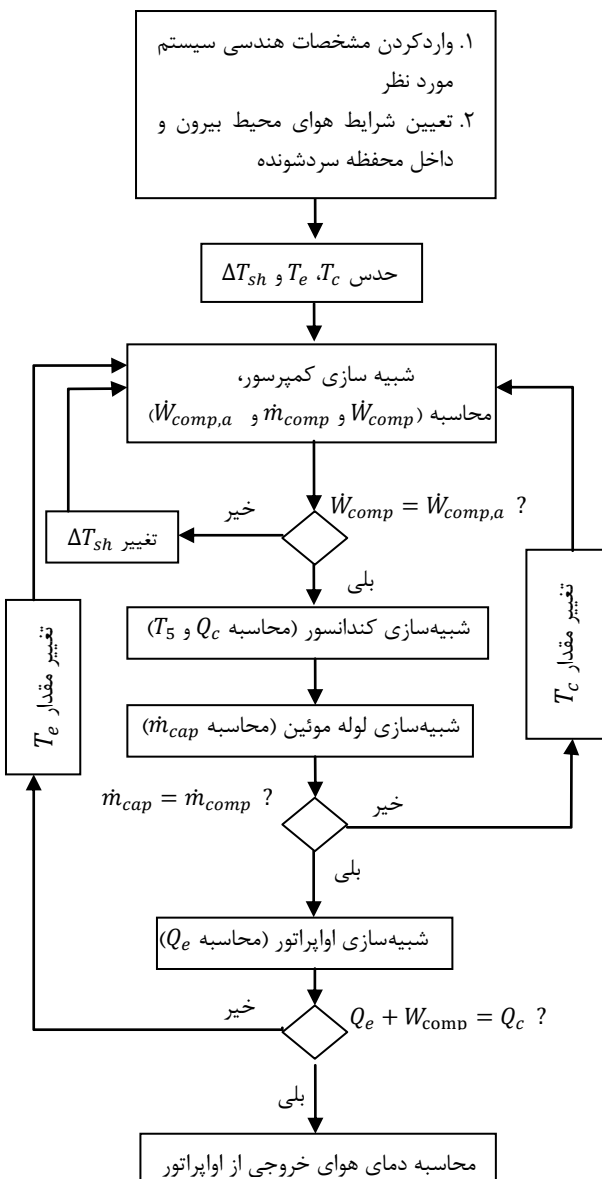
تأثیر دمای هوای محیط بر ظرفیت تبرید برای نتایج تجربی و نتایج حاصل از مدل‌سازی در شکل ۴ نشان داده شده است. حداقل خطا مدل در پیش‌بینی اثر تبرید $3/5$ درصد بوده و به طور متوسط به‌ازای یک درجه افزایش دمای محیط اثر تبرید $1/45 \text{ kJ/kg}$ کاهش می‌یابد.



شکل ۴ مقایسه روند تغییرات ظرفیت تبرید بر حسب افزایش دمای محیط

روند تغییرات ضریب عملکرد سیکل بر حسب دمای محیط برای نتایج حاصل از مدل و نتایج تجربی در شکل ۵ نشان داده شده است. حداقل خطا مدل در پیش‌بینی ضریب عملکرد $4/5$ درصد است و به طور متوسط به‌ازای یک درجه افزایش دمای محیط ضریب عملکرد 3 درصد کاهش می‌یابد.

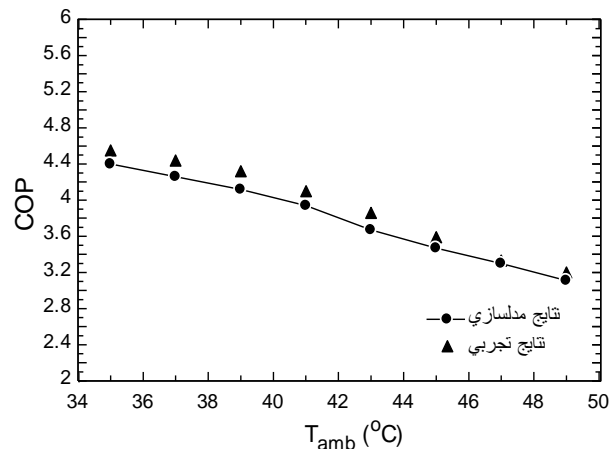
شرکت میتسوبیشی الکتریک مدل MS-A18VD/MU-A18VD مقایسه شده است [۹].



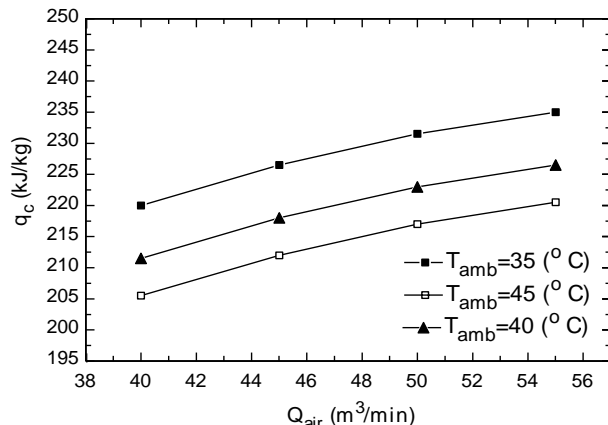
شکل ۲ الگوریتم شبیه‌سازی سیکل تبرید

در شکل ۳ نمودار تغییرات کار مصرفی کمپرسور بر حسب دمای محیط برای نتایج تجربی و نتایج حاصل از مدل نشان داده شده است. حداقل خطا مدل در پیش‌بینی کار مصرفی کمپرسور 6 درصد بوده و به طور متوسط می‌توان گفت که به ازای یک درجه افزایش دمای محیط، کار کمپرسور 0.7 kJ/kg افزایش می‌یابد.

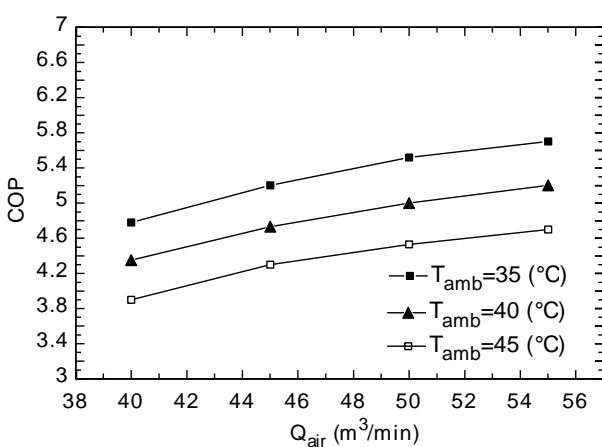
نشان می‌دهد. مشاهده می‌شود که در یک دمای ثابت محیط، با افزایش سطح کندانسور تا حد مشخصی، دفع حرارت از آن محسوس بوده و با شیب نسبتاً زیادی افزایش می‌یابد، اما با افزایش سطح از آن حد، تغییر چندانی در افزایش q_c مشاهده نمی‌شود. محدودیت میزان افزایش سطح کندانسور این است که با کاهش دمای مبرد در انتهای کندانسور اختلاف دمای بین مبرد و دمای هوای محیط کاهش یافته و میزان انتقال حرارت از کندانسور کاهش می‌یابد. در چنین شرایطی تأثیر افزایش سطح کندانسور بر میزان حرارت دفع شده از آن ناچیز خواهد بود. همچنین از شکل مشاهده می‌شود که با افزایش دمای محیط درصد افزایش سطح موثر که بعد از آن q_c به طور محسوسی تغییر نمی‌کند کاهش می‌یابد.



شکل ۵ روند تغییرات ضریب عملکرد سیکل بر حسب افزایش دمای محیط



شکل ۶ روند تغییرات حرارت دفع شده از کندانسور بر حسب افزایش دور فن کندانسور در چند دمای ثابت محیط



شکل ۷ روند تغییرات ضریب عملکرد سیکل بر حسب افزایش دور فن کندانسور در چند دمای ثابت محیط

۵- توانایی مدل برای پیش‌بینی عملکرد سیکل تبرید

یکی از روش‌های افزایش ضریب عملکرد سیکل تبرید افزایش نرخ دفع حرارت از کندانسور است. با افزایش نرخ دفع حرارت از کندانسور، مبرد با آنتالپی کمتری وارد اوپرатор شده و جذب حرارت بیشتری در اوپرатор صورت می‌گیرد و در نتیجه ضریب عملکرد سیکل افزایش می‌یابد.

از جمله روش‌های افزایش نرخ دفع حرارت از کندانسور، افزایش سطح کندانسور و افزایش دبی حجمی هوای عبوری از روی کندانسور (با تغییر دور فن آن) می‌باشد. افزایش رطوبت نسبی هوای محیط نیز باعث بالارفتن گرمای ویژه مخلوط هوا و بخار آب و افزایش ضریب انتقال حرارت در کندانسور می‌شود. در ادامه تأثیر سه پارامتر ذکر شده (افزایش سطح کندانسور، افزایش دور فن کندانسور، افزایش رطوبت نسبی هوای محیط) بر عملکرد سیکل تبرید نشان داده شده است.

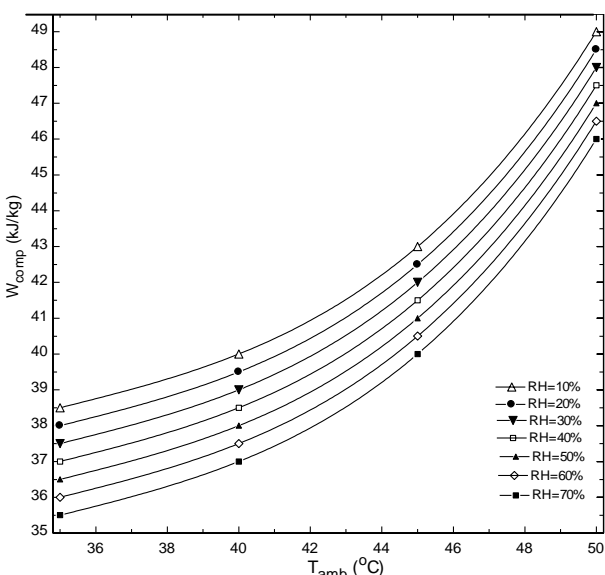
شکل ۶ روند تغییرات حرارت دفع شده از کندانسور را بر حسب افزایش دور فن کندانسور در چند دمای ثابت محیط نشان می‌دهد. به طور متوسط می‌توان گفت که در یک دمای ثابت، با افزایش ۱۰ درصد بر میزان دبی حجمی هوای عبوری از کندانسور، دفع حرارت از آن به میزان ۴ kJ/kg افزایش یافته و ضریب عملکرد به میزان ۵ درصد افزایش می‌یابد (شکل ۷).

شکل ۸ تأثیر افزایش سطح کندانسور بر میزان حرارت دفع شده از آن را در سه شرایط دمایی با رطوبت نسبی ثابت

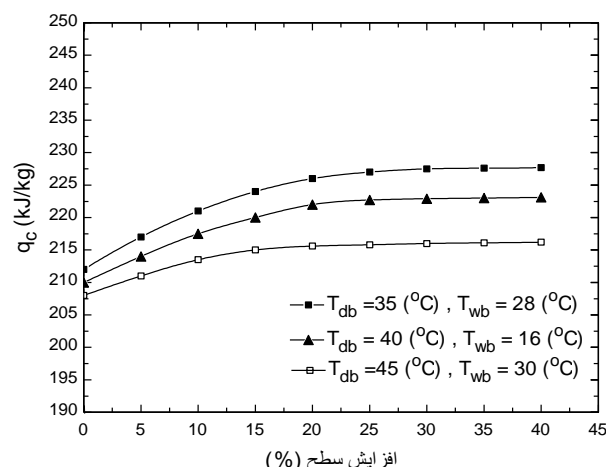
۵/۰ کاهش می‌یابد. همچنین، به ازای یک مقدار ثابت رطوبت نسبی هوا، به طور متوسط با افزایش یک درجه در دمای هوای محیط کار مصرفی کمپرسور $7/0 \text{ kJ/kg}$ افزایش می‌یابد.

شکل ۱۱ روند تغییرات حرارت دفع شده در کندانسور بر حسب افزایش دمای هوای محیط را در چند رطوبت نسبی نشان می‌دهد. مشاهده می‌شود که در یک دمای ثابت با افزایش رطوبت نسبی هوای محیط، میزان حرارت دفع شده در کندانسور افزایش می‌یابد. همچنین، به ازای یک مقدار ثابت رطوبت نسبی هوا با افزایش دمای خشک، به دلیل افزایش دمای کندانسور و کاهش اختلاف دمای مبرد با هوا، میزان حرارت دفع شده از کندانسور کاهش می‌یابد. به طور متوسط، با ثابت نگهداشتן مقدار رطوبت نسبی هوا، به ازای یک درجه افزایش دمای محیط، حرارت دفع شده به میزان $1/1 \text{ kJ/kg}$ کاهش می‌یابد. در یک دمای خشک ثابت نیز، به ازای 10 درصد افزایش رطوبت نسبی، حرارت دفع شده در کندانسور به طور متوسط به میزان $5/5 \text{ kJ/kg}$ افزایش می‌یابد.

شکل ۱۲ روند تغییرات ضریب عملکرد سیکل را بر حسب افزایش رطوبت نسبی هوای محیط نشان می‌دهد. در یک دمای ثابت محیط، به ازای 10 درصد افزایش رطوبت نسبی، به طور متوسط ضریب عملکرد $6/5$ درصد افزایش می‌یابد. در یک رطوبت نسبی ثابت نیز، به ازای یک درجه افزایش دمای محیط، ضریب عملکرد به طور متوسط حدود $3/5$ درصد کاهش می‌یابد.

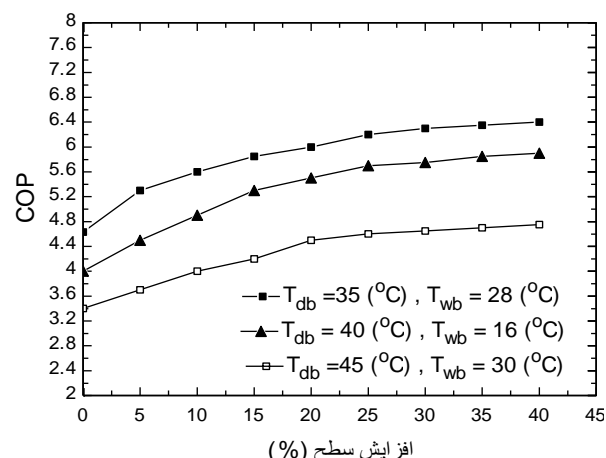


شکل ۱۰ روند تغییرات کار مصرفی کمپرسور با افزایش دمای محیط در رطوبت نسبی‌های مختلف



شکل ۸ روند تغییرات حرارت دفع شده از کندانسور بر حسب درصد افزایش سطح اولیه آن برای سه شرایط دمایی با رطوبت نسبی ثابت

از شکل ۹ مشاهده می‌شود که در یک دمای ثابت با افزایش سطح کندانسور ضریب عملکرد سیکل، تا زمانی که افزایش سطح به حداقل مقدار موثر آن نرسیده باشد، افزایش یافته و بعد از آن تغییر چندانی در ضریب عملکرد سیکل مشاهده نمی‌شود.



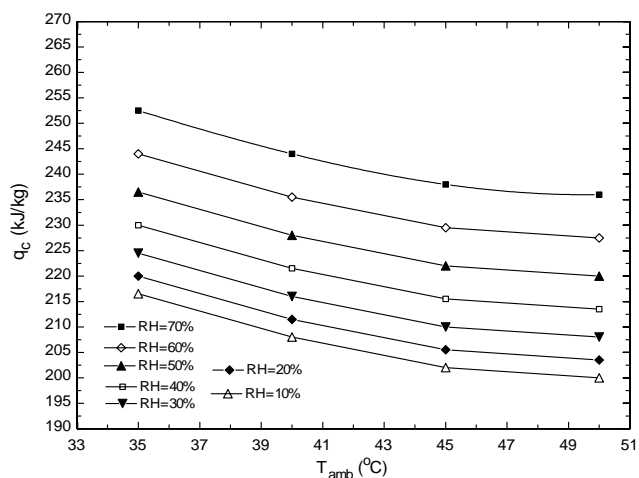
شکل ۹ روند تغییرات ضریب عملکرد سیکل بر حسب درصد افزایش سطح اولیه کندانسور برای سه شرایط دمایی با رطوبت نسبی ثابت

شکل ۱۰ روند تغییرات کار مصرفی کمپرسور را با افزایش دمای محیط در رطوبت نسبی‌های مختلف نشان می‌دهد. دیده می‌شود که در دمای خشک ثابت محیط به ازای هر 10 درصد افزایش رطوبت نسبی کار مصرفی کمپرسور به طور متوسط

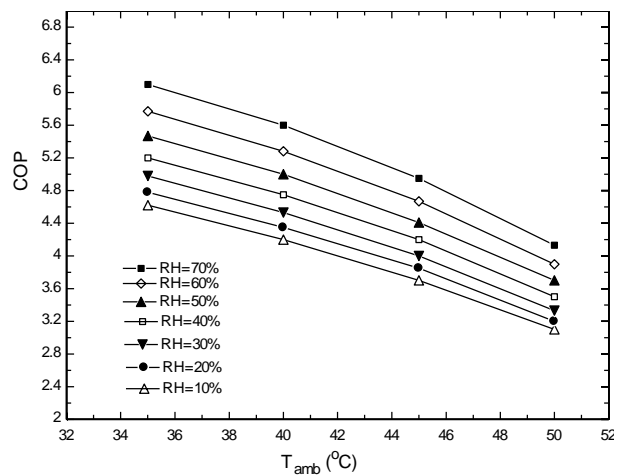
سیکل مانند ضریب عملکرد، توان خنک‌کنندگی و توان الکتریکی مصرفی را بدست آورد. همچنین، نحوه تغییرات خواص ترمودینامیکی مبرد در قسمت‌های مختلف سیکل مانند دماهای نقطه‌ریز و تبخیر، دبی جرمی مبرد، درجه مافوق گرمی و درجه مادون سردی با توجه به تغییرات شرایط محیطی قابل پیش‌بینی است. تأثیر عواملی چون افزایش رطوبت نسبی هوای افزایش دور فن کندانسور و افزایش سطح کندانسور بر عملکرد سیکل مورد بررسی قرار گرفت. مقایسه نتایج بهدست آمده از مدل با نتایج تجربی بهدست آمده از عملکرد یک دستگاه کولر گازی دوتكه که بر اساس سیکل تبرید تراکمی بخار کار می‌کند نشان می‌دهد که خطای موجود ناچیز بوده و می‌توان از این مدل برای شبیه‌سازی سیکل استفاده نمود. با استفاده از شبیه‌سازی نشان داده شد که در یک دمای ثابت محیط بهازای ۱۰ درصد افزایش رطوبت نسبی، به طور متوسط ضریب عملکرد $6/5$ درصد افزایش می‌یابد. در یک رطوبت نسبی ثابت نیز، به ازای یک درجه افزایش در دمای محیط، ضریب عملکرد به طور متوسط حدود $3/5$ درصد کاهش می‌یابد. همچنین، در یک دمای ثابت با افزایش ۱۰ درصد بر میزان دبی حجمی هوای عبوری از کندانسور، ضریب عملکرد به میزان ۵ درصد افزایش می‌یابد. از این مدل می‌توان برای پیش‌بینی عملکرد و مقایسه انواع دستگاه‌های تهویه مطبوع که بر اساس سیکل تبرید تراکمی بخار کار می‌کنند استفاده کرد.

۷- فهرست عالیم

مساحت سطح (m^2)	<i>A</i>
ظرفیت گرمایی ویژه ($kJ/kg.K$)	<i>C</i>
نسبت سطح	<i>f</i>
ضریب انتقال حرارت ($kW/m^2.K$)	<i>h</i>
آنالپی (kJ/kg)	<i>i</i>
ضریب لوئیس	<i>Le</i>
(kg)	<i>m</i>
فشار (kPa)	<i>p</i>
حرارت (kW) و دبی حجمی (m^3/kg)	<i>Q</i>
آنتروپی ($kJ/kg.K$)	<i>s</i>
(K)	<i>T</i>
ضریب انتقال حرارت کلی ($kW/m^2.K$)	<i>U</i>



شکل ۱۱ حرارت دفع شده در کندانسور با افزایش دمای محیط در رطوبت نسبی‌های مختلف



شکل ۱۲ ضریب عملکرد سیکل تبرید با افزایش دمای محیط در رطوبت نسبی‌های مختلف

۶- نتیجه‌گیری

در این پژوهش، سیکل تبرید تراکمی بخار در حالت پایدار شبیه‌سازی شد. برای این کار اجزای اصلی سیکل مانند کمپرسور، کندانسور، اوپراتور و لوله مویین مدل‌سازی شده و معادلات حاکم بر آن‌ها استخراج شد. سپس کل مجموعه به صورت یکپارچه در نظر گرفته شده و عملکرد سیکل شبیه‌سازی شد. معادلات حاکم تشکیل یک دستگاه معادلات را داده که برای حل آن یک برنامه کامپیوتری با نرم‌افزار EES تدوین شده است. با استفاده از این برنامه برای سیکل تبرید تراکمی در شرایط محیطی متفاوت می‌توان مشخصه‌های عملکرد کلی

کشش سطحی در رشد حباب‌های مبرد درون لوله مویین مؤثر است، اما تأثیر اندکی بر دبی جرمی دارد. عدد بی بعد مربوط به اثر کشش سطحی توسط رابطه (۳) تعریف می‌شود

$$\pi_3 = d_{cap} \sigma_f / v_f \mu_f^2 \quad (3)$$

تأثیر فشار مبرد در ورود به لوله مویین به صورت عدد بی بعد در محاسبه دبی جرمی لوله مویین محاسبه می‌شود.

$$\pi_4 = d_{cap}^2 P_{in} / v_f \mu_f^2 \quad (4)$$

تأثیر میزان مادون‌سردی در ورود به لوله مویین به صورت عدد بی بعد π_5 نشان داده می‌شود.

$$\pi_5 = d_{cap}^2 c_p \Delta t_{sc} / v_f^2 \mu_f^2 \quad (5)$$

در این رابطه Δt_{sc} اختلاف دمای اشباع کندانسور و دمای مبرد در خروج از ناحیه مادون‌سرد کندانسور، و در واقع میزان مادون‌سردی مبرد در ورود به لوله مویین، است. c_p گرمای ویژه مبرد مایع اشباع در دمای ورود به لوله مویین است.

در صورتی که مبرد ورودی به لوله مویین به صورت دوفازی باشد، میزان کیفیت مبرد به عنوان پارامتر بدون بعد موثری که جایگزین پارامتر قبلی است ارائه می‌شود.

$$\pi_5 = x \quad (6)$$

تأثیر دانسیته و ویسکوزیته مبرد بر میزان دبی جرمی لوله مویین به صورت اعداد بدون بعد π_6 و π_7 ارائه می‌شود.

$$\pi_6 = v_g / v_f \quad (7)$$

$$\pi_7 = (\mu_f - \mu_g) / \mu_g \quad (8)$$

زیرنویس f و g مربوط به شرایط مایع و بخار اشباع در دمای مبرد ورودی به لوله مویین می‌باشند. در نهایت نرخ جريان جرمی مبرد در لوله مویین به صورت عدد بی بعد π_8 بیان می‌شود.

$$\pi_8 = m_{cap} / d_{cap} \mu_f \quad (9)$$

۹- مراجع

- [1] Hiller C. C., Glicksman L. R. "Improving Heat Pump Performance via Capacity Control- Analysis and Test", Massachusetts Institute of Technology, Report No. 24525-96, Heat Transfer Laboratory, Cambridge, Massachusetts, 1976.
- [2] Ellison R. D., Creswick F. A., "A Computer Simulation of Steady-State Performance of Air-to-Air Heat Pump", Report No. ORNL/CON-16, Department of Energy, Oak Ridge National Laboratory, 1978.

ρ	روطوبت مخصوص (kg.w/kg d.a)
NTU	ضریب کارآیی
ϕ	راندمان فین
π	عدد بی بعد
زیر نویس ها	
a	هوای واقعی
air	هوای
c	کندانسور
comp	کمپرسور
cap	لوله مویین
d	خشک
db	حباب خشک
e	اوایپراتور
i	داخلی، ورودی
isen	آیزنتروپیک
o	خروجی
r	مبرد
t	لوله
tp	دوفازی
sh	مافق گرم
sc	مادون سرد
w	مرطوب

۸- پیوست

تعیین اعداد بی بعد برای محاسبه دبی جرمی لوله مویین نسبت ویژگی‌های هندسی لوله مویین به عنوان اولین پارامتر بی بعد تعریف می‌شود.

$$\pi_1 = \frac{d_{cap}}{L_{cap}} \quad (1)$$

که در آن d_{cap} قطر و L_{cap} طول لوله مویین می‌باشد. تأثیر میزان حرارت نهان تغییر مبرد در دمای اشباع ورود به لوله مویین به عنوان دومین پارامتر بی بعد تعریف می‌شود.

$$\pi_2 = d_{cap}^2 h_{fg@T_l} / v_f^2 \mu_f^2 \quad (2)$$

زیرنویس f مربوط به شرایط مایع اشباع در دمای ورود به لوله مویین می‌باشد. v حجم مخصوص مبرد و μ ویسکوزیته مبرد در دمای اشباع ورود به لوله مویین می‌باشند.

- [9] Hajidavalloo E., Eghtedari H., "Performance Improvement of Air-Cooled Refrigeration System by using Evaporatively Cooled Air Condenser", *Int. Journal of Refrigeration*, Vol. 33, No. 5, 2010, pp. 982-88.
- [10] Yoshii T., "Transient Testing Technique for Heat Exchanger Fin", *ASHRAE Transactions*, Vol. 87, Part.1, 1981, pp. 763-792.
- [11] McQuiston F. C., Parker J. D., Spitler J. D., "Heating, Ventilating and Air Conditioning, Analysis and Design", 5th Edition, New York, John Wiley & Sons, Chapter 14, 2000.
- [12] رستمی علی اصغر، "طراحی مبدل‌های حرارتی"، چاپ اول، اصفهان، مرکز انتشارات جهاد دانشگاهی واحد صنعتی اصفهان، فصل چهارم، ۱۳۷۲.
- [13] Threlkeld J. L., *Thermal Environmental Engineering*, New York, Prentice-Hall Inc, 1982.
- [14] Chaddock J. B., Noerager J. A., "Evaporation of R-12 in a Horizontal Tube with Constant Wall Heat flux", *ASHRAE Trans.*, Vol. 72, Part. 1, 1966, pp. 90-102.
- [15] Theerakulpisut S., Priprom S., "Modeling Cooling Coils", *Int. Commun. Heat Mass Transfer*, Vol. 25, No. 1, 1998, pp 127-137.
- [3] Fisher S. K., Rice C. K., Jackson W. L., "The Oak Ridge Heat Pump Design Model", MARK III Version Program Documentation, Report No. ORNL/TM-10192. Oak Ridge National Laboratory, 1988.
- [4] Domanski P., Didion D., "Computer Modelling of Vapor-Compression Cycle with Constant Flow Area Expansion Device", Building Equipment Devision, National Bureau of Standard, Washington DC, Report No. 20234, 1983.
- [5] Mullen C. E., Bullard C. W., "Room Air Conditioner System Modeling", University of Illinois at Urbana-Champaign, ACRC TR-61, 1994.
- [6] ONeal, D. L., Penson S. B., "An Analysis of Efficiency Improvement in Room Air Conditioner", ESL/88-04, Texas A&M University, 1988.
- [7] عباسی م., "شبیه‌سازی سیکل تبرید تراکمی بخار"، پایان‌نامه کارشناسی ارشد، دانشکده مهندسی مکانیک، دانشگاه صنعتی اصفهان، ۱۳۷۲.
- [8] ASHRAE, *ASHRAE Handbook-Refrigeration*, Atlanta, American Society of Heating, Refrigerating and Air-Conditioning Engineers, Chapter 44, 2006.